



ISSN 0132-2486

ВІСНИК

ортопедії, травматології та протезування

4

79 | 2013

український науково-практичний журнал

ВГО "УКРАЇНСЬКА АСОЦІАЦІЯ
ОРТОПЕДІВ-ТРАВМАТОЛОГІВ"

ВГО "УКРАЇНСЬКА АСОЦІАЦІЯ
СПОРТИВНОЇ ТРАВМАТОЛОГІЇ,
ХІРУРГІЇ КОЛІННОГО СУГЛОБА
ТА АРТРОСКОПІЇ"

ДУ "ІНСТИТУТ ТРАВМАТОЛОГІЇ
ТА ОРТОПЕДІЇ НАМН УКРАЇНИ"

Наудник Б. О., Кінч-По ВГО "УКРАЇНСЬКА АСОЦІАЦІЯ ОРТОПЕДІВ-ТРАВМАТОЛОГІВ"

Маркевич Т. А. ВГО "УКРАЇНСЬКА АСОЦІАЦІЯ СПОРТИВНОЇ ТРАВМАТОЛОГІЇ, ХІРУРГІЇ КОЛІННОГО СУГЛОБА ТА АРТРОСКОПІЇ"
Клініко-рентгенологічний працюєвий центр
фосфат-діабету

Дубровський І. М. д/р "ІНСТИТУТ ТРАВМАТОЛОГІЇ ТА ОРТОПЕДІЇ НАМН УКРАЇНИ"

Лябах А. Р., Руденко Р. І., Руденко І. А.,

Зазирний І. М.

Вплив скелетичних показників та субективної
оценки на рівень функції стопи у пацієнтів
з хондрозом підколінної кістки

Liabakh A. R., Rudenko R. I., Rudenko I. A.,

Zazirnyi I. M.

The influence of skeletal parameters
and subjective assessment on the foot function score
in patients with patellofemoral chondrosis

ВІСНИК

ОРТОПЕДІЇ, ТРАВМАТОЛОГІЇ ТА ПРОТЕЗУВАННЯ

УКРАЇНСЬКИЙ НАУКОВО-ПРАКТИЧНИЙ ЖУРНАЛ

4 (79) – 2013

РЕДАКЦІЙНА КОЛЕГІЯ

Головний редактор

Г. В. Гайко

Науковий редактор

А. П. Лябах

Відповідальний секретар

О. О. Коструб

А. П. Крись-Пугач (Київ)

В. М. Левенець (Київ)

О. Є. Лоскутов (Дніпропетровськ)

В. А. Попов (Київ)

В. О. Радченко (Харків)

Є. Т. Скларенко (Київ)

А. Т. Сташкевич (Київ)

С. С. Страфун (Київ)

М. І. Хвисюк (Харків)

РЕДАКЦІЙНА РАДА

Л. М. Анкін (Київ)

А. В. Беліцкій (Мінськ, Білорусь)

Т. Гайдзік (Сосновець, Польща)

В. В. Григоровський (Київ)

Ю. М. Гук (Київ)

А. В. Калашніков (Київ)

А. П. Лябах (Київ)

А. Ф. Левицький (Київ)

С. Магомедов (Київ)

В. Й. Марчинський (Варшава, Польща)

О. Е. Міхневич (Київ)

В. В. Поворознюк (Київ)

М. В. Полулях (Київ)

І. В. Рой (Київ)

С. В. Сергєєв (Москва, Росія)

В. С. Сулима (Івано-Франківськ)

Ю. В. Сухін (Одеса)

В. Я. Філіпенко (Харків)

Журнал сертифіковано ВАК України (Постанова Президії ВАК України № 1-05/3 від 14.04.2010 р.)

Свідоцтво про державну реєстрацію друкованого засобу масової інформації серія КВ № 17468-6218 ПР від 01.02.2011 р. ISSN 0132-2486

Рекомендовано до друку вченюю радою ДУ "Інститут травматології та ортопедії НАМН України" (протокол № 16 від 26.12.2013 р.)

Редакція залишає за собою право редактувати подані матеріали. Відповіальність за зміст реклами несе рекламодавець.

За зміст публікацій, достовірність фактів, цитат, власних назв та інших відомостей відповідають автори.

Усі права захищені. Будь-яке відтворення матеріалів або фрагментів із них

можливе лише за письмовою згодою авторів і редакції, посилання на видання обов'язкове.

ЗМІСТ

Гайко Г. В., Калашніков О. В., Панченко Л. М., Соколовська О. Р.	Gaiko G. V., Kalashnikov O. V., Panchenko L. M., Sokolovska O. R.
Імунний стан хворих з різними формами перебігу ідіопатичного та диспластичного коксартрозу 4	Immune status in patients with different progress of idiopathic and dysplastic coxarthrosis 4
Лазарев І. А., Філіпчук В. В., Скибан М. В., Поладюк Володимир В.	Lazarev I. A., Filipchuk V. V., Skyban M. V., Poladyuk Vl. V.
Порівняльний аналіз напруженно-деформованого стану контактних поверхонь кульшового суглоба в умовах асферичності головки стегнової кістки та після хірургічної оптимізації фемороацетабулярних співвідношень 9	Comparative analysis of stress-strain relationship of the hip contact surfaces in aspherical femoral head and after femoroacetabular surgical optimization 9
Лябах А. П., Міхневич О. Е., Турчин О. А., Пятковський В. М.	Liabakh A. P., Mikhnevych O. E., Turchyn O. A., Piatkovskyi V. M.
Нейрогенна артропатія нижньої кінцівки: рентгенологічна діагностика та динаміка перебігу 14	The neurogenic arthropathy of the lower extremity: roentgenologic diagnosis and course dynamics 14
Гук Ю. М., Гуч А. О., Чеверда А. І., Шкурко Ю. М.	Guk Yu. M., Guch A. O., Cheverda A. I., Shkurko Yu. M.
Особливості периферичного кровообігу нижніх кінцівок у хворих з наслідками спинномозкової грижі 19	Particular features of peripheral circulation of lower limbs in patients with consequences of spina bifida cystica 19
Лоскутов А. Е., Васильченко Е. В.	Loskutov A. Ye., Vasylchenko Ye. V.
Ранние результаты эндопротезирования тазобедренного сустава с использованием цементной фиксации 26	Early results of hip replacement with use of cement fixation 26
Гошко В. Ю.	Hoshko V. Yu.
Хірургічне лікування хвороби Пертеса з ускладненим перебігом 29	Surgical treatment of Perthes disease with complicated course 29
Григоровський В. В., Страфун С. С., Тимошенко С. В.	Hryhorovskyi V. V., Strafun S. S., Tymoshenko S. V.
Особливості даних візуалізивних методів дослідження та патоморфологічних змін у тканинах кистьового суглоба хворих з наслідками переломів човноподібної кістки 35	Particular features of medical imaging techniques and pathomorphological changes of wrist joint tissues in patients with sequences of navicular bone fractures 35
Торчинський В. П., Ніршберг О. Е.	Torchynskyi V. P., Nirshberh O. Ye.
Паліативні операції у лікуванні хворих на асептичний некроз головки стегнової кістки 42	Palliative operations in patients with aseptic necrosis of the femoral head 42

<p>Науменко Н. О., Кінча-Поліщук Т. А., Марциняк С. М., Сивак М. Ф. Клініко-рентгенологічні прояви фосфат-діабету 48</p> <p>Лябах А. П., Руденко Р. І., Руденко І. А., Зазірний І. М. Вплив скіалогічних показників та суб'єктивної оцінки на рівень функції стопи у пацієнтів з <i>hallux valgus</i> 54</p> <p>Турчин А. М., Лябах А. П., Анкін М. Л., Омельченко Т. М., Бесарабець Ю. Й. Анатомо-біомеханічні аспекти переломів таранної кістки та їх остеосинтез із застосуванням зустрічно-компресуючих гвинтів. 58</p> <p>Копчак А. В., Шидловський М. С. Непрямі методи визначення механічних властивостей кісткової тканини <i>in vivo</i>..... 63</p> <p>ЮВІЛЕЙ</p> <p>Амосов Микола Михайлович 67</p> <p>Калашников Андрій Валерійович 68</p> <p>ОПІДИ І РЕЦЕНЗІЇ</p> <p>Коструб О. О., Блонський Р. І. Сучасні погляди на діагностику та лікування травм пахової області у спортсменів (огляд літератури). Частина II 70</p> <p>ДИДЖЕСТ</p> <p>Перелік дисертаційних робіт захищених у 2013 р. в Україні за спеціальністю ортопедія і травматологія ... 77</p> <p>Звіт про роботу Київського осередку ЕОУ "Українська асоціація ортопедів-травматологів" ... 79</p> <p>Інформація про засідання виконкому Європейської федерації національних асоціацій спортивної травматології (EFOST), 27 жовтня 2013 р., Брюссель (Бельгія)..... 81</p> <p>Інформація про конференцію "Артромост" 30 листопада – 1 грудня 2013 р., Москва (Росія) 81</p> <p>Інформація про зїзди, симпозіуми та науково-практичні конференції, що приведуться у 2014 році в Україні..... 82</p>	<p>Naumenko N. O., Kincha-Polishchuk T. A., Martsyniak S. M., Syvak M. F. Clinical and radiographic manifestations of phosphate diabetes 48</p> <p>Liabakh A. P., Rudenko R. I., Rudenko I. A., Zazirnyi I. M. The influence of scialogical parameters and subjective assessment on the foot function score in patients with <i>hallux valgus</i> 54</p> <p>Turchyn A. M., Liabakh A. P., Ankin M. L., Omelchenko T. M., Bessarabets Yu. Yo. Anatomical and biomechanical aspects of the talus fractures and osteosynthesis with use of opposing-compression screws 58</p> <p>Kopchak A. V. Shydlovskyi M. S. Indirect methods of definition of mechanical properties of bone tissue <i>in vivo</i> 63</p> <p>DIGESTS AND REVIEWS</p> <p>Amosov Mykola Mykhailovych 67</p> <p>Kalashnikov Andrii Valeriiovych 68</p> <p>DIGESTS AND REVIEWS</p> <p>Kostrub O. O., Blonsky R. I. Contemporary views on diagnosis and treatment of groin area injury in athlets (<i>review of literature</i>). Part II 70</p> <p>DIGEST</p> <p>List of theses defended in 2013 in Ukraine on the speciality of orthopaedy and traumatic surgery 77</p> <p>Reports about the work of the Kyiv center of a ASO of "Ukrainian association of orthopedists-traumatologists" ... 79</p> <p>Information on the Meeting of the Executive Board of European Federation of National Assotiations of Sports Traumatology (EFOST), October, 27, 2013, Brussels (Belgium) 81</p> <p>Information on the "Arthromost" 2013 Conference in Moscow, Russian Federation (30.11.–01.12.2013) 81</p> <p>Information about congresses, symposiums, scientific and practical conferences that will be held in 2014 in Ukraine 82</p>
---	--

ПОРІВНЯЛЬНИЙ АНАЛІЗ НАПРУЖЕНО-ДЕФОРМОВАНОГО СТАНУ КОНТАКТНИХ ПОВЕРХОНЬ КУЛЬШОВОГО СУГЛОБА В УМОВАХ АСФЕРИЧНОСТІ ГОЛОВКИ СТЕГНОВОЇ КІСТКИ ТА ПІСЛЯ ХІРУРГІЧНОЇ ОПТИМІЗАЦІЇ ФЕМОРОАЦЕТАБУЛЯРНИХ СПІВВІДНОШЕНЬ

I. A. Лазарев¹, В. В. Філіпчук¹, М. В. Скибан¹, Володимир В. Поладюк²

¹ДУ "Інститут травматології та ортопедії НАМН України", м. Київ

²Буковинський державний медичний університет

COMPARATIVE ANALYSIS OF STRESS-STRAIN RELATIONSHIP OF THE HIP CONTACT SURFACES IN ASPHERICAL FEMORAL HEAD AND AFTER FEMOROACETABULAR SURGICAL OPTIMIZATION

I. A. Lazarev, V. V. Filipchuk, M. V. Skyban, Vl. V. Poladuk

Normally a femoral head has a spherical shape. Perthes-like deformities occurring as a result of post-ischemic disturbances of formation of the hip joint against the background of dysplasia are accompanied by appearance of articular surface incongruence. The occurring local or total deformity disturbs biomechanical properties of the joint with following development of osteoarthritis. By mathematical modeling using finite element method biomechanical conditions of the hip joint function and variants of optimizations of femoroacetabular relations under conditions of total aspherical femoral head were studied by means of comparative analysis of the stress-strain condition of the contact surfaces. Disturbances of anatomical relations of the hip with development of ovoid aspherical femoral head leads to appearance of local stress concentration zones (2.98 MPa) in a limited area of the contact surface of the upper pole of the head and acetabular roof (femoroacetabular impingement). The magnitude of the contact stresses and deformities increases with increasing load on the joint. Under conditions of cyclic dynamical loads concentration of contact stresses and strains leads to progressive damage of the articular cartilage of the acetabulum and the femoral head with increase of deformity of the joint and development of coxarthrosis. Surgical positioning of ovoid femoral head into horizontal position of symmetry axis allows to put out of load local stress concentration zones of the hip joint thus reducing level of stress on contact surfaces by 44.6% (1.65 MPa). Optimization of contact load spot by means of its equal distribution over the surface of the femoral head and the acetabulum reduces the risk of osteoarthritis progression.

Key words: hip joint, femoroacetabular impingement, ovoid asphericity, finite element analysis, stress and strain.

СРАВНИТЕЛЬНЫЙ АНАЛИЗ НАПРЯЖЕНИЕ-ДЕФОРМИРОВАННОГО СОСТОЯНИЯ КОНТАКТНЫХ ПОВЕРХНОСТЕЙ ТАЗОБЕДРЕННОГО СУСТАВА В УСЛОВИЯХ АСФЕРИЧНОСТИ ГОЛОВКИ БЕДРЕННОЙ КОСТИ И ПОСЛЕ ХИРУРГИЧЕСКОЙ ОПТИМИЗАЦИИ ФЕМОРОАЦЕТАБУЛЯРНЫХ СООТНОШЕНИЙ

И. А. Лазарев, В. В. Филипчук, М. В. Скибан, Вл. В. Поладюк

В форме головка бедренной кости имеет сферическую форму. Пертесоподобные деформации, возникающие в результате постишемических расстройств формирования тазобедренного сустава на фоне дисплазии, сопровождаются появлением дисконгруэнтности суставных поверхностей. Возникающая локальная или тотальная деформация нарушает биомеханические свойства сустава с последующим развитием артоза. Путем математического моделирования методом конечных элементов исследованы биомеханические условия функционирования тазобедренного сустава и варианты оптимизации фемороакетабулярных соотношений в условиях тотальной асферичности головки бедренной кости сравнительным анализом напряженно-деформированного состояния контактных поверхностей. Нарушения анатомических соотношений в тазобедренном суставе с развитием овальной асферичности головки бедренной кости приводят к появлению зон концентрации локальных напряжений (2,98 MPa) на ограниченной поверхности контактной поверхности верхнего полюса головки и крыши вертлужной впадины (фемороакетабулярный конфликт). Величина контактных напряжений и деформаций растет с увеличением нагрузки на сустав. В условиях циклических динамических нагрузок концентрация контактных напряжений и деформаций приводит к прогрессирующему повреждению суставной хряща вертлужной впадины и головки бедренной кости с нарастанием деформации сустава и развитием коксартроза. Хирургическая установка овальной головки бедра в горизонтальное

положение оси симметрии позволяет вывести из-под нагрузки участки концентрации локальных напряжений в тазобедренном суставе, тем самым уменьшая уровень напряжений на контактных поверхностях на 44,6% (1,65 MPa). Оптимизация пятна контактной нагрузки путем ее равномерного распределения на поверхности головки бедренной кости и вертлужной впадины уменьшает риск прогрессирования явлений коксартроза.

Ключевые слова: тазобедренный сустав, фемороацетабулярный конфликт, овощная асферичность, конечно-элементное моделирование, напряжения и деформации.

Вступ

Патологія кульшового суглоба (КС) – одна з найважливіших проблем ортопедії дитячого та юнацького віку, яка при несвоєчасному лікуванні викликає стійку інвалідність. Ураження суглоба полягає в прогресуванні коксартрозу, ознаками якого є пошкодження всіх тканин: суглобового хряща, субхондральної кістки, хондролабрального комплексу та капсули. За геометричною будовою КС належить до чашоподібних (кулеподібних). Саме тому, у нормі головка стегнової кістки має сферичну форму. Перетесоподібні деформації, що виникають у результаті постішемічних розладів формування КС на фоні дисплазії (результат лікування) супроводжуються виникненням дисконгруентності суглобових поверхонь. Відбувається локальна, або тотальна деформація, яка порушує біомеханічні властивості суглоба.

Існує необхідність продовжувати пошук та сформувати концепцію фемороацетабулярного конфлікту у дітей та підлітків [4], тому що жодна з існуючих систем поглядів на розвиток ОА не розкриває біомеханічної суті механізмів руйнування хряща у пацієнтів зазначених вікових груп. Необхідно також визначити й оптимальні методи покращання біомеханічних співвідношень контактних поверхонь. Гіпотеза дослідження ґрунтується на концепції фемороацетабулярного конфлікту і полягає в тому, що для мінімізації явищ прогресування руйнування суглобових поверхонь при овочіні асферичності вісь симетрії повинна розташуватись якомога більш горизонтально. Горизонтальне положення осі симетрії частково повинно компенсувати асферичність у сагітальній площині, оскільки проекція овочіда на зазначену площину буде коло. Це положення можна досягти вальгізациєю остеотомією з установленням головки стегнової кістки в оптимальне положення.

З урахуванням гетерогенної будови та складного характеру навантаження КС, на сьогодні, найбільш ефективним методом розв'язання подібних біомеханічних задач є метод скінченно-елементного моделювання [3, 6].

Побудована нами математична модель біомеханічної системи КС відповідає таким умовам: забезпечує високу відповідність 3D анатомічної форми та реальних розмірів, ураховує гетерогенність структури, фізико-математичні властивості системи та її елементів, характер та параметри взаємодії контактних поверхонь, імітує реальний характер функціональних навантажень.

Мета дослідження – на основі математичного моделювання методом скінчених елементів дослідити біомеханічні умови функціонування кульшового суглоба та варіанти оптимізації фемороацетабулярних співвідношень

в умовах тотальної асферичності головки стегнової кістки порівняльним аналізом напружено-деформованого стану контактних поверхонь.

Матеріали і методи

Після проведення рентгенологічного дослідження КС із фемороацетабулярним конфліктом у трьох площинах із застосуванням кубовидного маркера (пристрою для визначення просторових співвідношень кісткових елементів [2]) (рис. 1) побудовано з пластиліну макет ураженого КС (рис. 2).

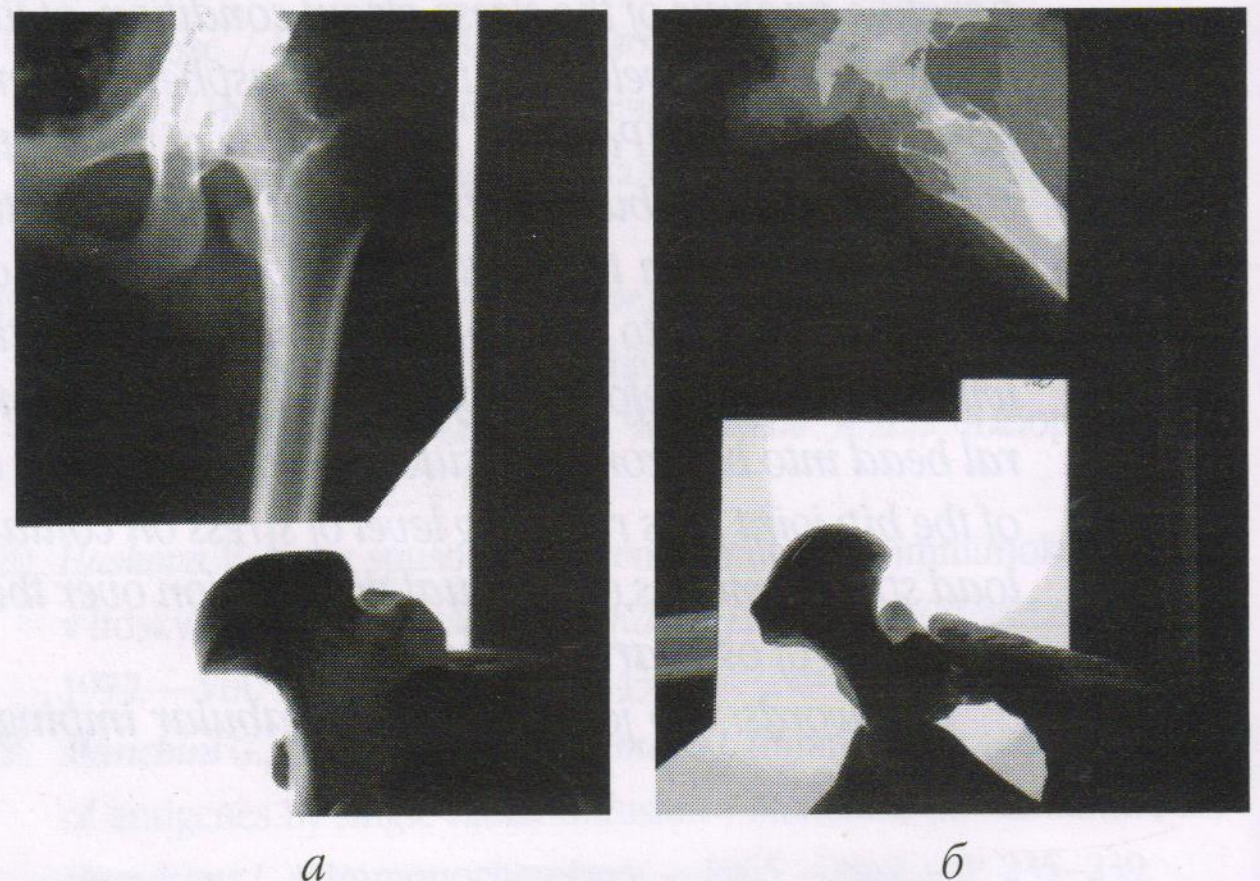


Рис. 1. Рентгенологічне дослідження КС:
пряма (а) та бокова проекція (б)



Рис. 2. Макет ураженого КС у трьох площинах
із застосуванням кубовидного маркера

З макета був зроблений гіпсовий відбиток, а по ньому побудовано модель головки стегна та вертлюгової западини із керамічного матеріалу із подальшим спеціальним його випалюванням. Керамічна модель суглоба з асферичною дисконгруентністю (рис. 3) була підготовлена до мультиспіральної комп’ютерної томографії (МСКТ).

Отримані за допомогою МСКТ аксіальні скани з товщиною зрізів 0,5 мм у 3D-зображеннях було імпортовано у програму Mimics 10.01. На зображеннях вибрано ті зони, у яких планується проведення розрахунків – саме весь КС, без опор (рис. 4).

Після цього ці вихідні дані переведені в полілінії за допомогою команд Segmentation – Calculate Polyline. У полілініях вибрано необхідні параметри. Після того як виконано вищеперелічені операції, отримані полілінії у форматі IGES імпортовано в програму SolidWorks для створення 3D-моделі. Роботу в SolidWorks почато зі створення площини, за допомогою якої здійснюється прив’язка до імпортованих поліліній [1], на наступному етапі окремі елементи моделі КС зв’язано в збірку з чотирьох компонентів: головка стегна, хрящ, який покриває головку, вертлюгова западина та хрящ, що покриває западину (рис. 5). Усі елементи встановлено в необхідну положенні.

Після виконання всіх ескізних робіт засобами команд інструментів у режимі “елементів” створена суцільна модель КС (рис. 6). На наступному етапі модель

імпортовано в програму ANSYS для розрахунку на контактну міцність. На рис. 7 представлена розрахункові максимально наближені до реальних твердо-тільні моделі, які використовувалися для визначення напружено-деформованого стану в елементах КС в умовах асферичності головки стегнової кістки до та після хірургічної оптимізації фемороацетабулярних співвідношень. Після остеотомії для оптимізації біомеханічних співвідношень контактних поверхонь на моделі змінювали співставлення елементів КС та напрямок дії сили (див. рис. 7).

Засобами ANSYS згенеровано сітку скінчених елементів моделей до та після хірургічної оптимізації остеотомії (рис. 8), яка налічувала 406 329 та 434 563 елементи відповідно, у якої задано обчислення та аналіз таких параметрів:

- 1) установлення контактної пари;
- 2) призначення цільової та контактної поверхні;
- 3) задання цільової поверхні;
- 4) задання контактної поверхні;
- 5) визначення та задання руху цільової поверхні;
- 6) прикладання необхідних граничних умов;
- 7) задання опції розв’язання і напруження;
- 8) розв’язання контактної задачі.

Дискретизацію базових ліній на контактній поверхні проводили нерівномірно (рис. 9). Згущення вузлів здійснювали в найбільш важливих ділянках контакту, що відповідає закону арифметичної прогресії.

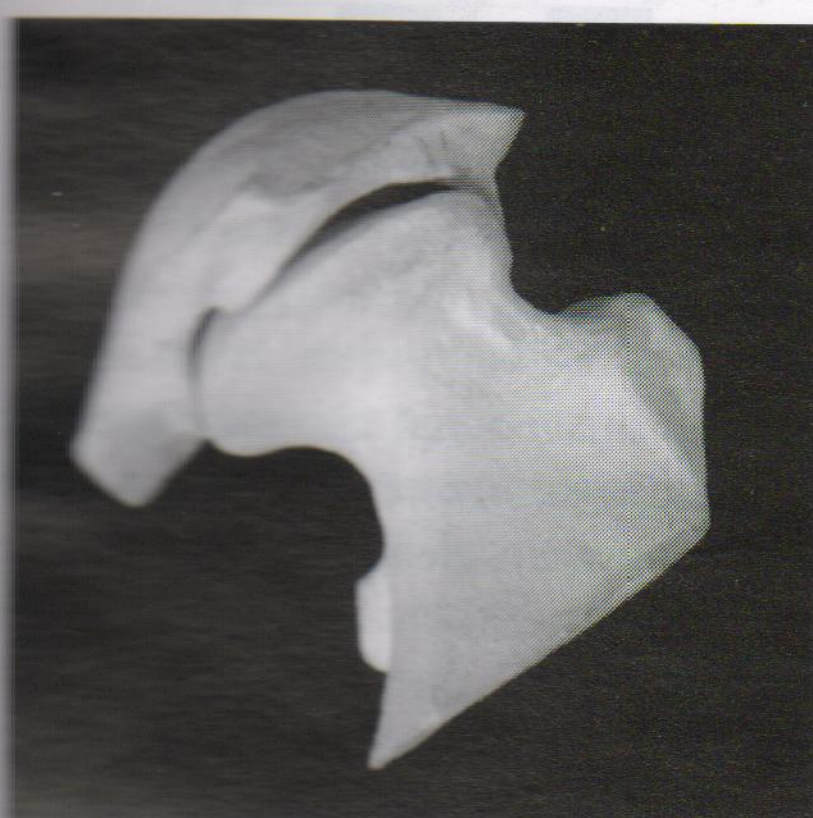


Рис. 3. Керамічна модель ураженого кульшового суглоба

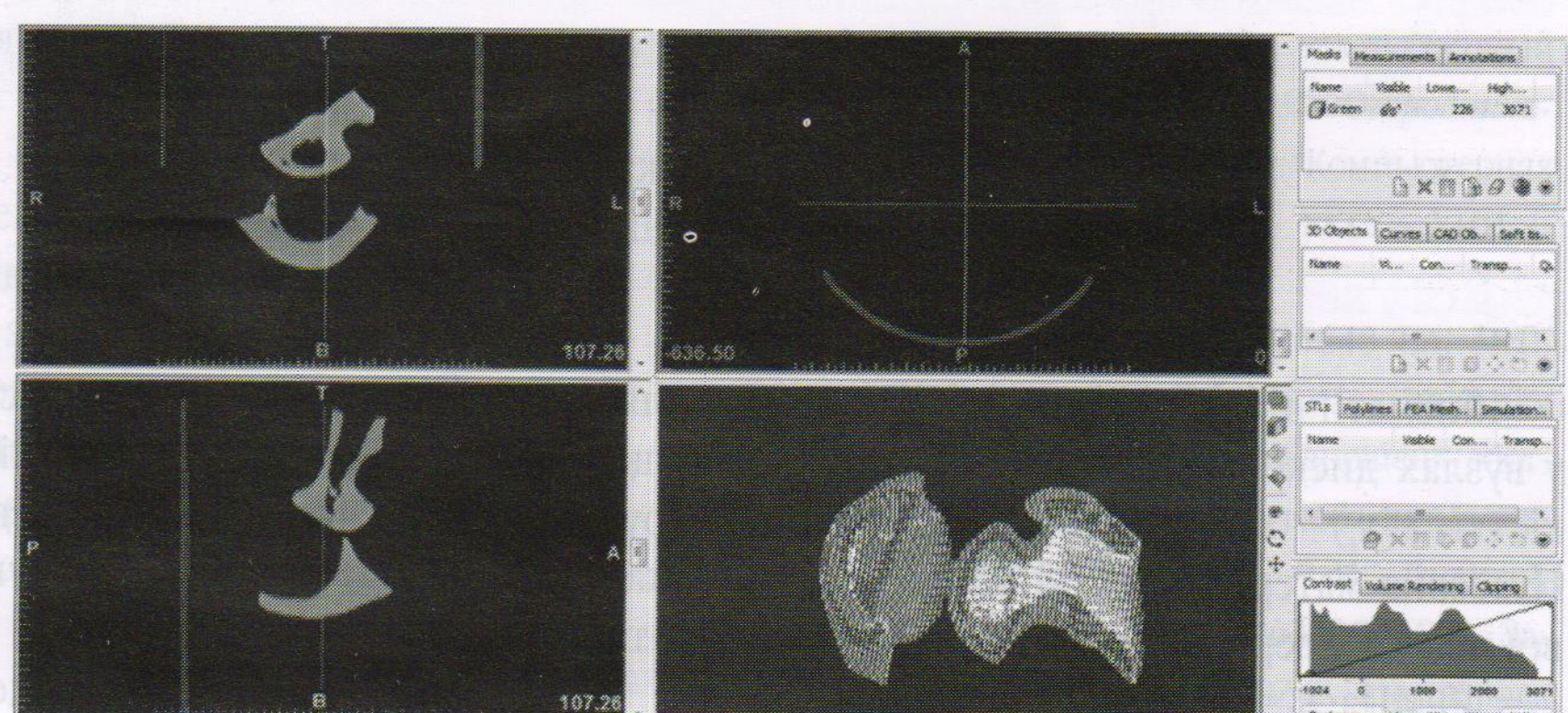


Рис. 4. Обробка даних засобами Mimics 10.01

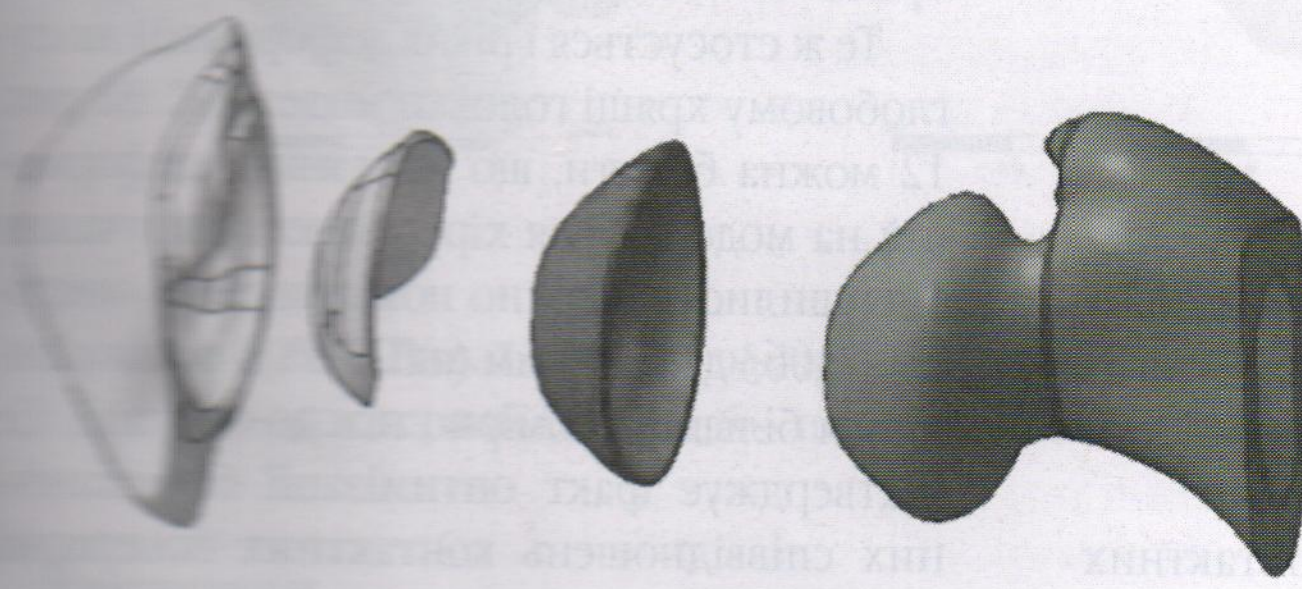


Рис. 5. Елементи 3D-моделі КС

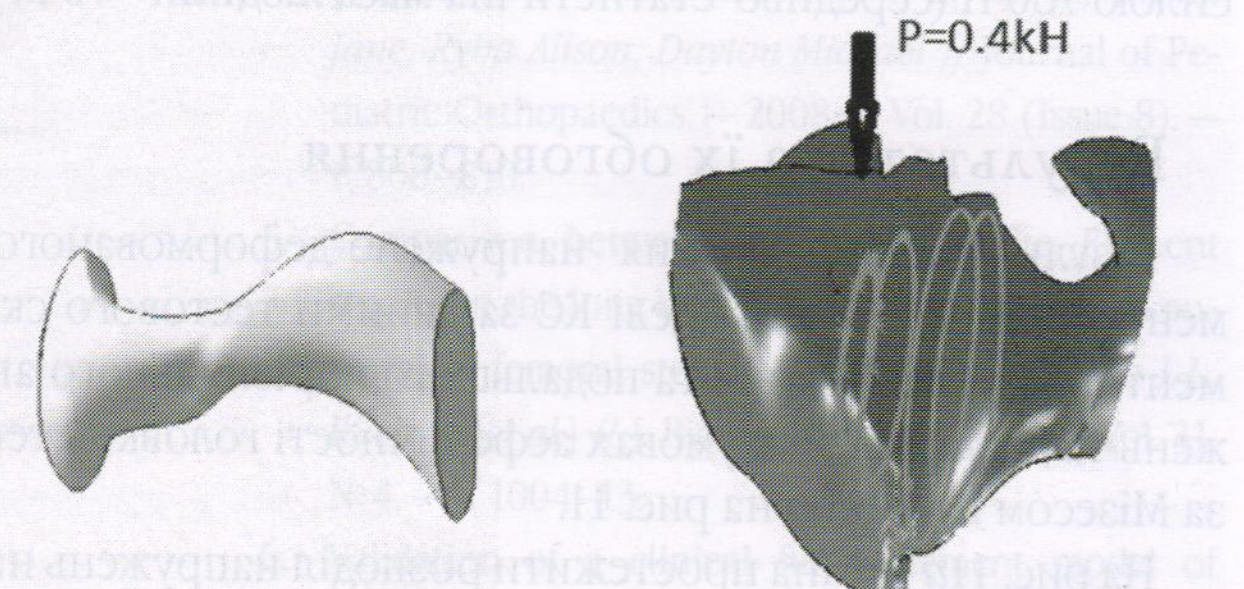


Рис. 6. Суцільна модель КС

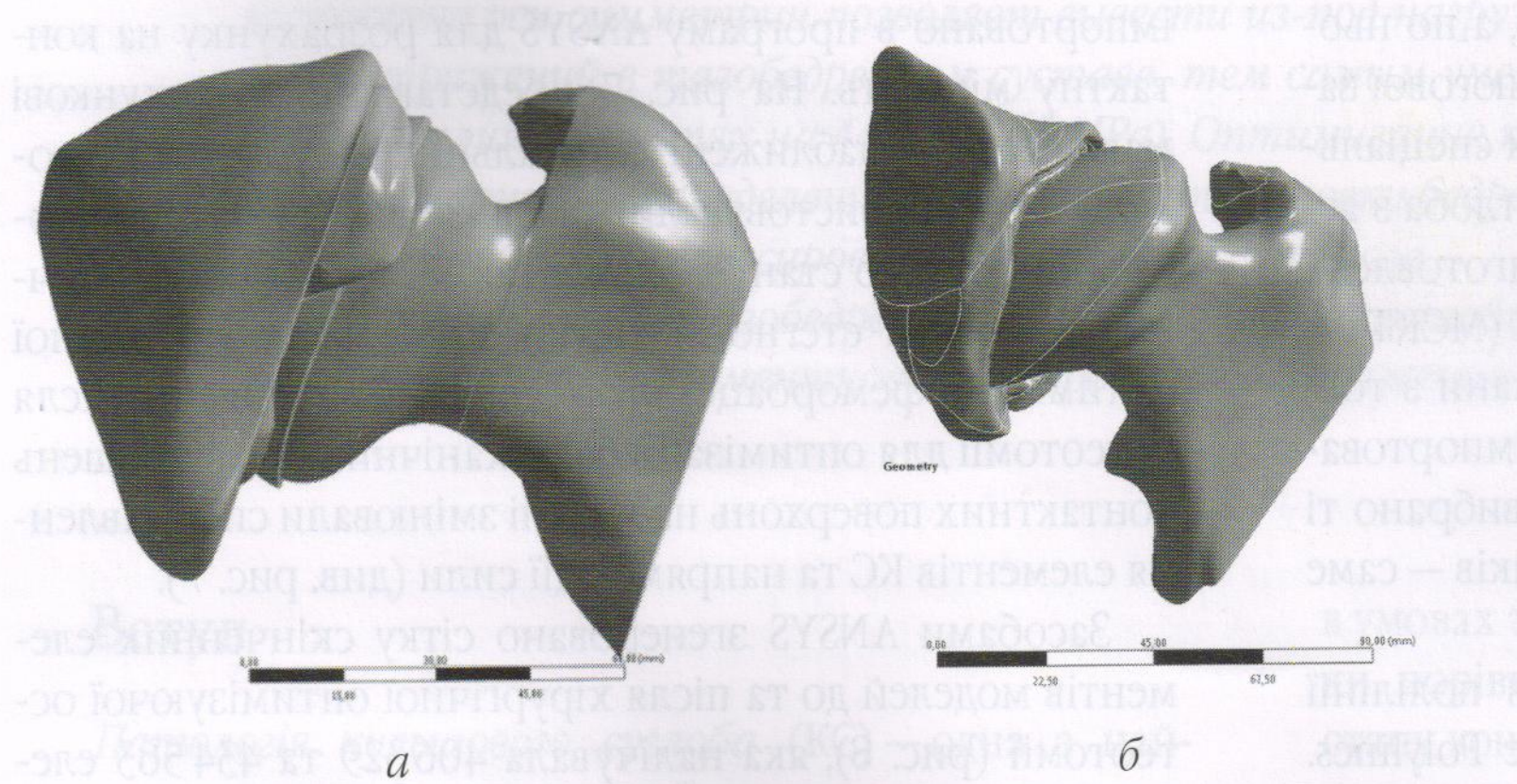


Рис. 7. Розрахункові твердотільні моделі: до (а) та після операції (б)

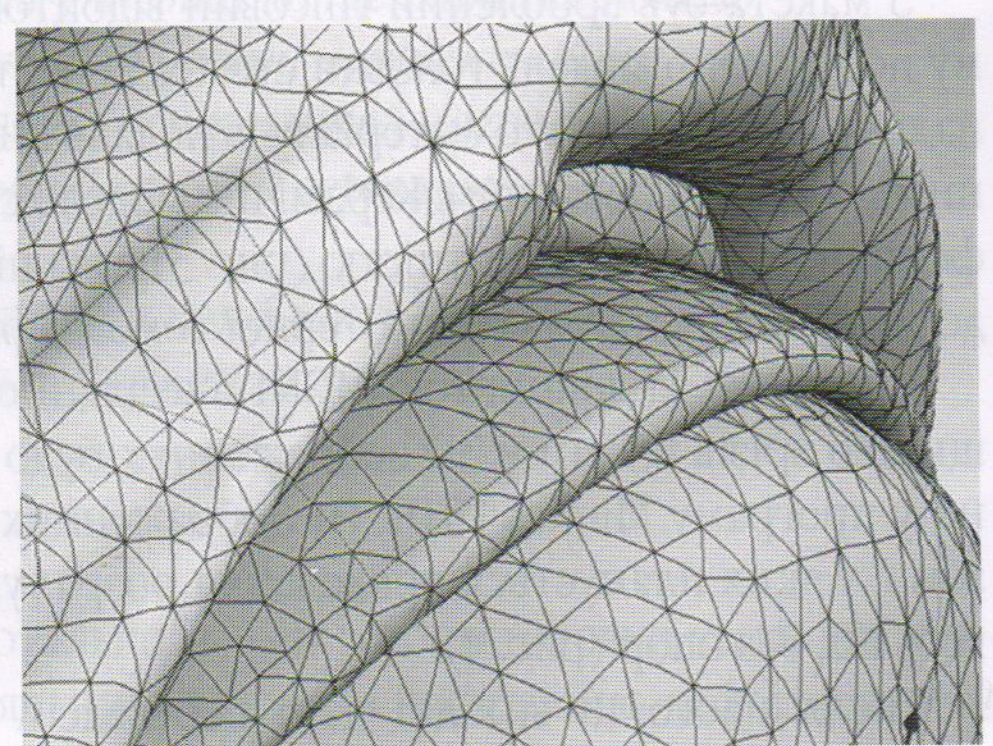


Рис. 9. Дискретизація базових ліній на контактній поверхні

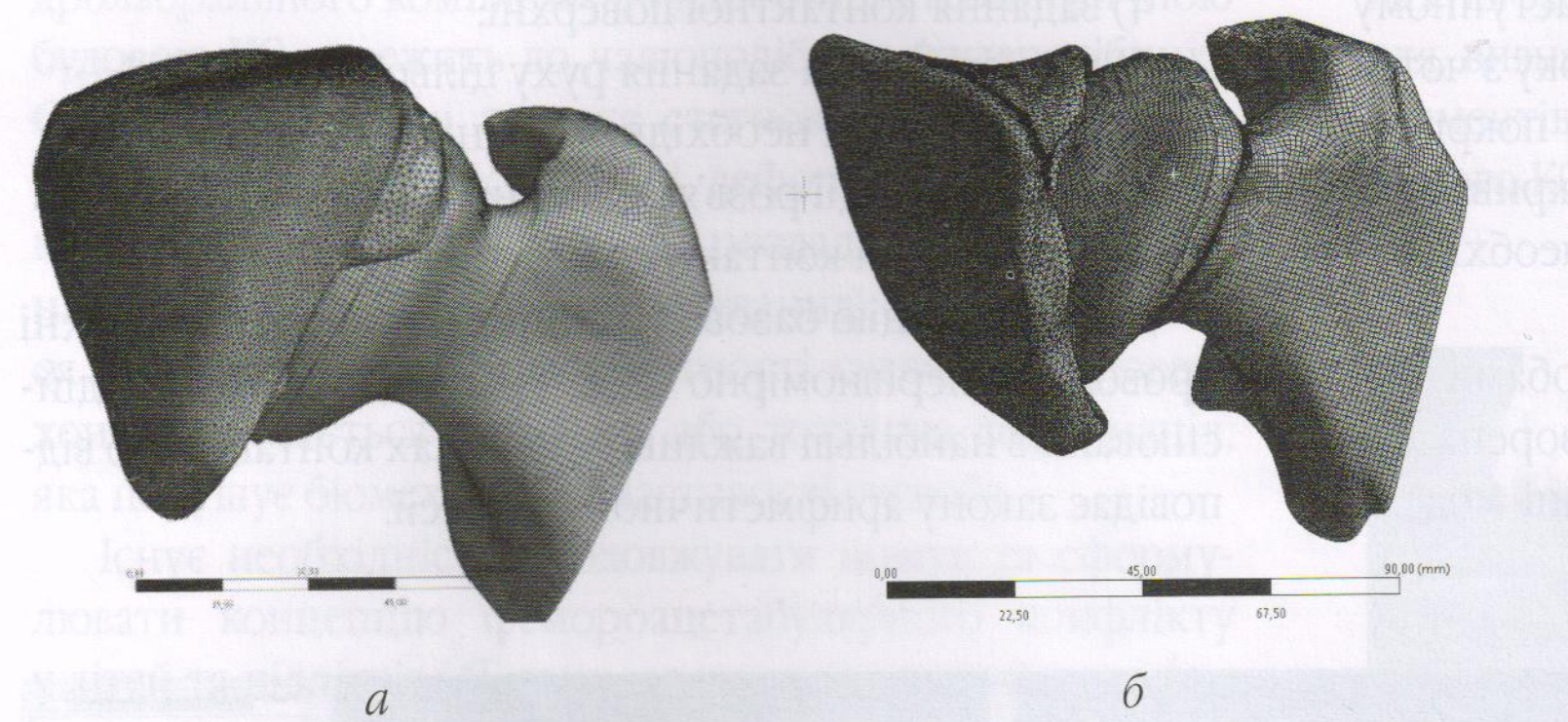


Рис. 8. Скінченно-елементна сітка моделі: до (а) та після (б) операції

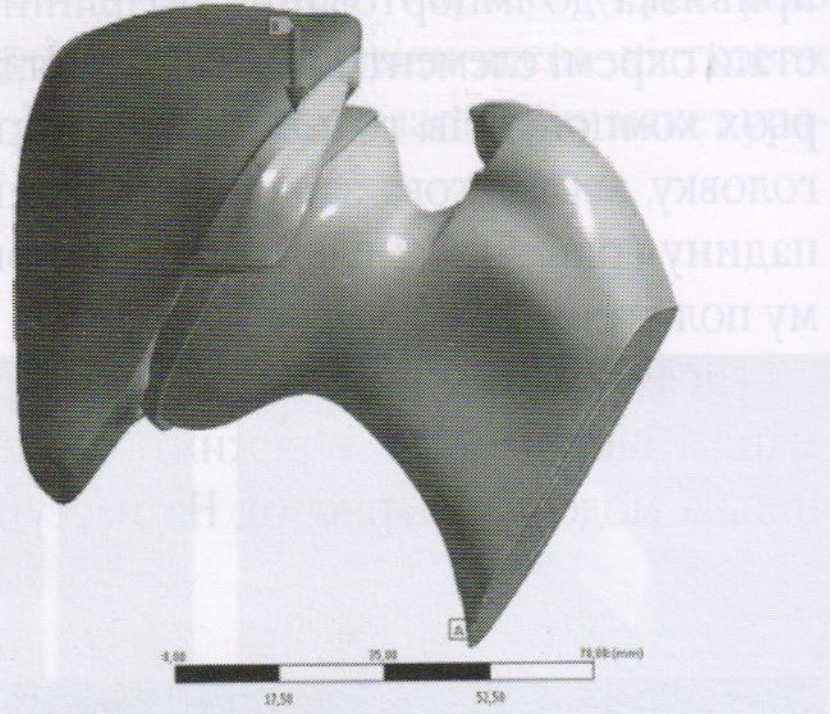


Рис. 10. Границі умови

Кінематичні граничні умови задавали для вектору переміщень у вузлах дискретної моделі. По нижній площині головки стегнової кістки $v(y_i)=0$, де i – номер вузла. Модулі пружності й коефіцієнти Пуассона матеріалів кісткової та хрящової тканини головки стегнової кістки і вертлюгової западини прийняті такими: $E_1=8 \cdot 10^3$ МПа, $E_2=40$ МПа; $\nu_1=0,3$, $\nu_2=0,4$ відповідно [5].

Для “чистових” розрахунків з метою співставлення отриманих даних тестового скінчено-елементного моделювання та подальшого порівняльного аналізу кількісних показників напруженого-деформованого стану компонентів КС в умовах тотальної асферичності головки стегна на наступному етапі застосовані засоби програмного пакета ANSYS.

На рис. 10 представлені умови закріплення й навантаження моделі силою 700 Н (середньо-статистична маса людини ~70 кг).

Результати та їх обговорення

Результати дослідження напруженого-деформованого стану елементів біомеханічної моделі КС за даними тестового скінчено-елементного моделювання та подальшого порівняльного аналізу напружені та деформацій в умовах асферичності головки стегнової кістки за Мізесом наведено на рис. 11.

На рис. 11 a можна простежити розподіл напружень на контактних поверхнях моделі хряща головки стегна. Напруження в умовах фемороацетабулярного конфлікту до операції локалізовані на верхньому полюсі головки ($\sigma_{\max}=2,98$ МПа). Вони розподілені не рівномірно,

а сконцентровані в одній ділянці. При циклічному навантаженні така локальна концентрація напружень може викликати руйнування хряща.

Після хірургічної оптимізації фемороацетабулярних співвідношень (рис. 11 b) напруження на хрящі розподілені по поверхні хряща головки стегна більш рівномірно ($\sigma_{\max}=1,65$ МПа), на 44,63% менше ніж для моделі до операції (рис. 11 a). Рівномірний розподіл напружень у такому разі набагато зменшує ризик пошкодження хряща при циклічному навантаженні.

Те ж стосується і рівня деформацій на суглобовому хрящі головки моделі КС. На рис. 12 можна бачити, що показники деформацій на моделі після хірургічного втручання зменшилися відносно показників до операції з 0,063 до 0,045 мм (на 28,6%) і розподіляються більш рівномірно ніж до операції. Це підтверджує факт оптимізації біомеханічних співвідношень контактних поверхонь моделі КС унаслідок оперативного втручання з виведенням овоїдної головки стегна в горизонтальне положення осі симетрії.

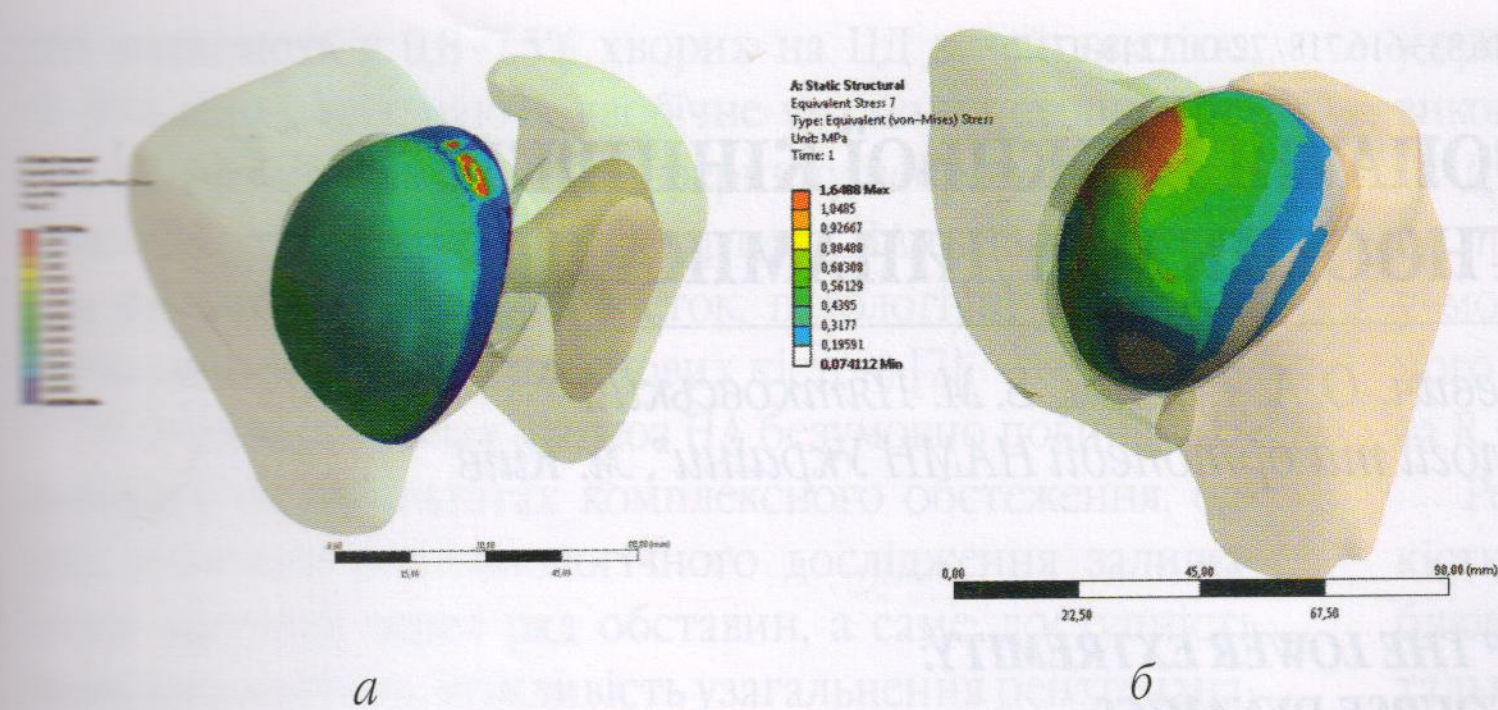


Рис. 11. Напруження за Мізисом на суглобовому хрящі головки моделі КС:
а – до операції, $\sigma_{\max} = 2,98$ МПа; б – після операції, $\sigma_{\max} = 1,65$ МПа

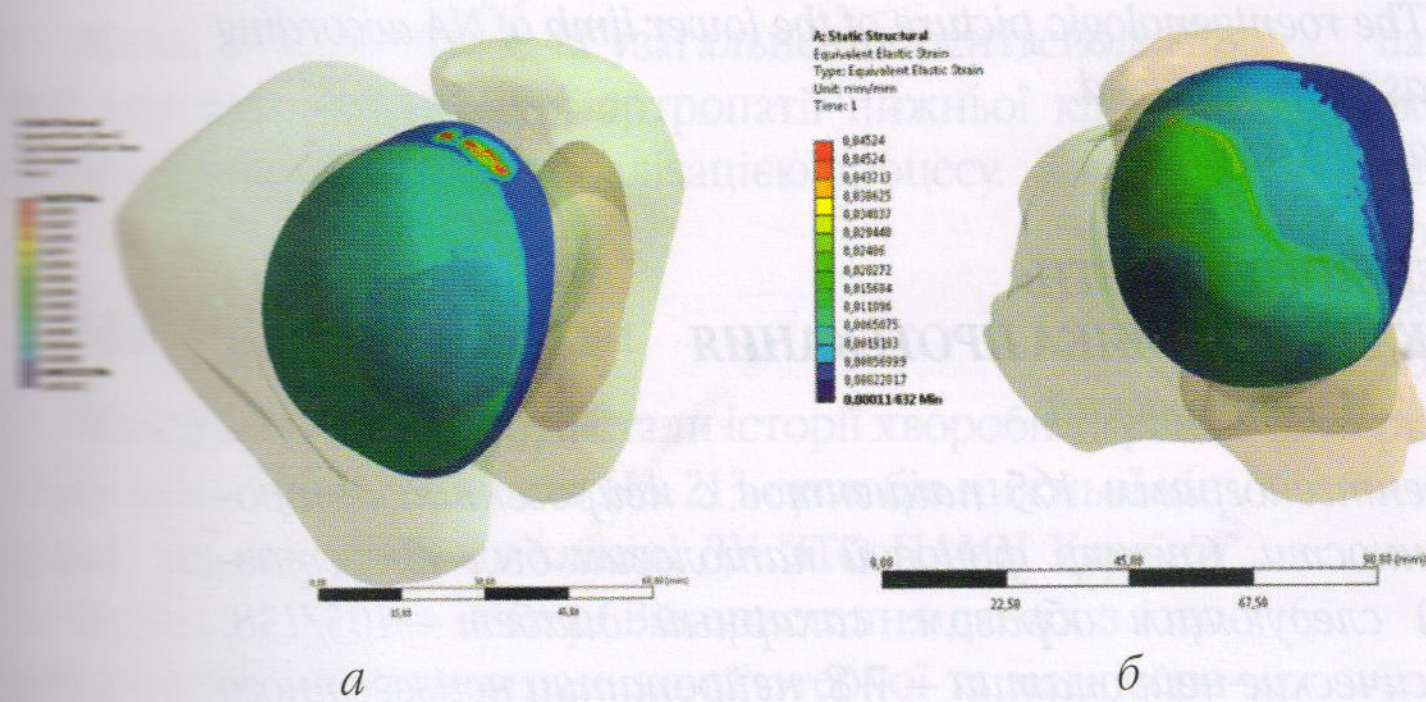


Рис. 12. Деформації на хрящі головки моделі КС:
а – до операції, $\epsilon_{\max} = 0,063$ мм; б – після операції, $\epsilon_{\max} = 0,045$ мм

Рис. 13 демонструє нормальні переміщення контактних поверхонь суглобового хряща головки моделі КС. Максимальні показники переміщення після операції навпаки зростають з 0,86 до 0,97 мм (на 12,8%), що локалізуються в ділянці верхівки головки стегнової кістки. Зростання величини переміщення в цьому випадку характеризує покращення проковзування контактних поверхонь суглобового хряща за рахунок зменшення напруження в контактних структурах суглоба.

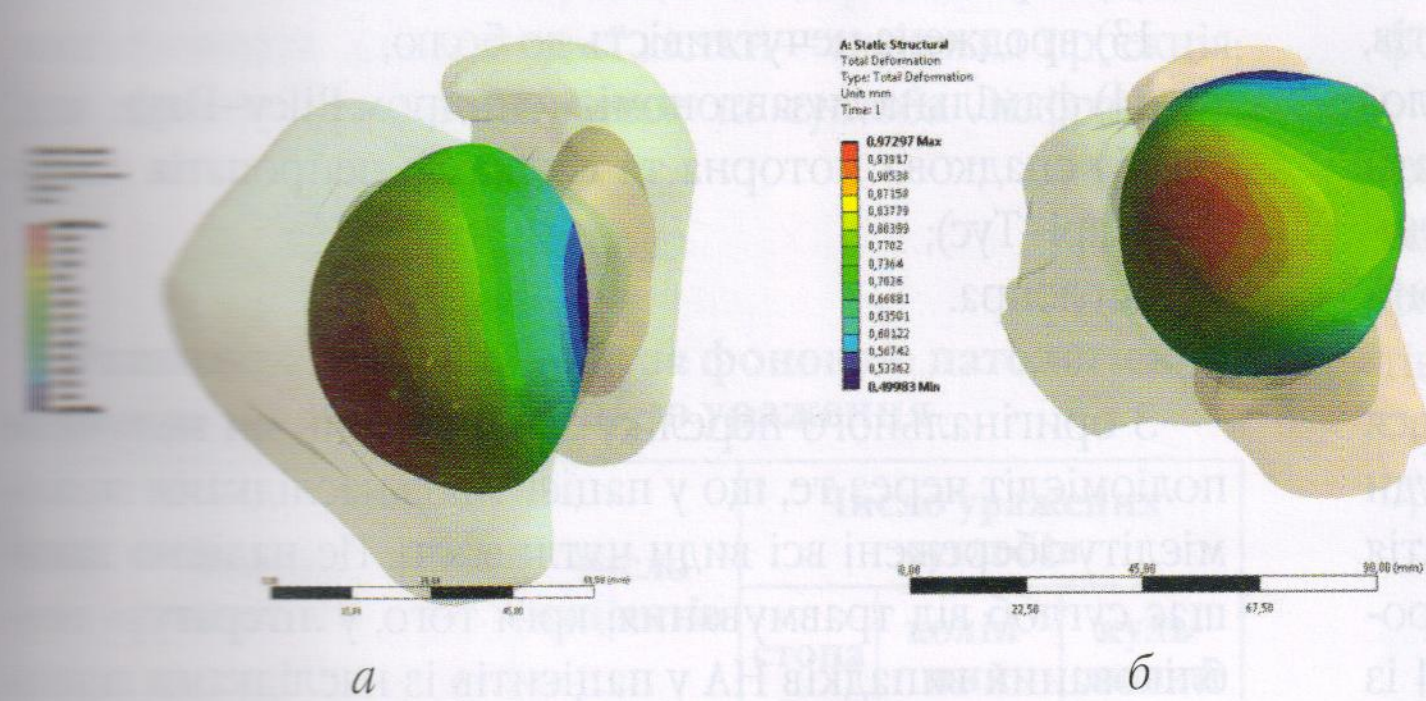


Рис. 13. Нормальні переміщення:
а – до операції, 0,86 мм; б – після операції, 0,97 мм

Висновки

Розлади анатомічних співвідношень у кульшовому суглобі з розмежуванням овійдної асферичності головки стегнової кістки призводять

до концентрації напруження (2,98 МПа) в обмеженій зоні контакту верхнього полюса головки і краю склепіння кульшової западини (фемороацетабулярний конфлікт). Величина контактних напруження і деформацій зростає зі збільшенням навантаження на суглоб.

В умовах циклічних динамічних навантажень (зокрема при синдромі фемороацетабулярного конфлікту) концентрація контактних напруження і деформацій призводить до руйнування суглобового хряща кульшової западини і головки стегнової кістки з нарощанням їх деформації й розвитком коксартрозу.

Установка овійдної головки стегна в горизонтальне положення осі симетрії дозволяє вивести з-під навантаження ділянки концентрації локальних напружень в кульшовому суглобі, тим самим зменшуєчи їх рівень на контактних поверхнях (44,6%). Оптимізація плями контактного навантаження шляхом її рівномірного розподілу на поверхні головки стегнової кістки і кульшової западини, зменшує ризик прогресування ушкоджень структур кульшового суглоба.

Література

- Огородникова О.М. Введение в компьютерный конструкционный анализ / О.М. Огородникова // Метод. указания по курсу "Компьютерная диагностика". – Екатеринбург : УГТУ – УПИ. – 2001. – 47 с.
- Патент на корисну модель № 26648 UA. МПК (2006) A 61 B 6/00, A 61 B 5/103. Пристрій для визначення просторових співвідношень кісткових елементів кульшового суглоба при рентгенографії / В.В. Філіпчук, В.М. Гладкий, М.С. Касацій та ін. (UA); № u200708902; Заявл. 02.08.2007. Опубл. 25.09.2007 // Промислова власність. – 2007. Бюл. 15.
- Applications of Finite element simulation in Orthopaedic and Trauma Surgery / Herrera A., Cegonino J., Lobo-Escolar A. [et al.] // World J. Orthop. – 2012. – Vol. 3, № 4. – P. 25–41.
- Clinical Presentation of Femoroacetabular Impingement in Adolescents / Sink Ernest L., Gralla Jane, Ryba Alison, Dayton Michael // Journal of Pediatric Orthopaedics. – 2008. – Vol. 28 (Issue 8). – P. 806–810.
- Comparison between DEXA and Finite Element studies in the long term bone remodelling of an anatomical femoral stem / Herrera A., Panisello J.J., Ibarz E. [et al.] // J. Biomech. Eng. – 2009. – Vol. 31, № 4. – P. 1004–1013.
- Validation of a clinical finite element model of the human lumbosacral spine / Guan, Y., Yogannadan N., Zhang J. [et al.] // Med. Bio. Eng. Comput. – 2006. – Vol. 44. – P. 633–641.